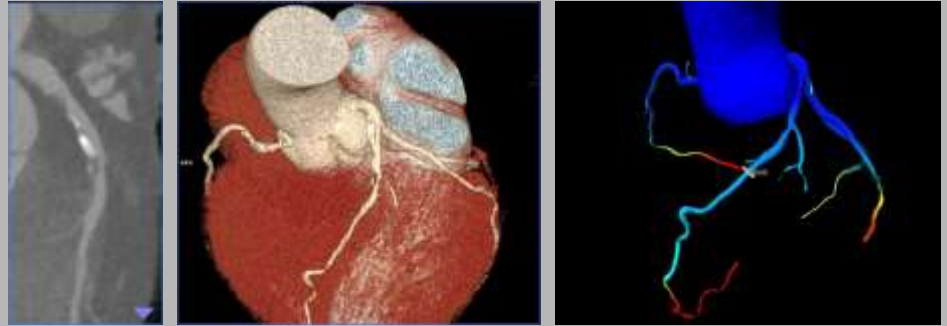


CTA koronárních tepen a kalkulace frakční průtokové rezervy (CT-FFR)



Jan Baxa

Klinika zobrazovacích metod, FN Plzeň a LF UK v Plzni

technologický posun

“high-end” přístroje

bez nutnosti redukce srdeční frekvence

poruchy rytmu včetně FIS

obézní pacienti

vysoká kvalita s nízkou zátěží

senzitivita 90 - 98 %, specificita 80 - 95 %

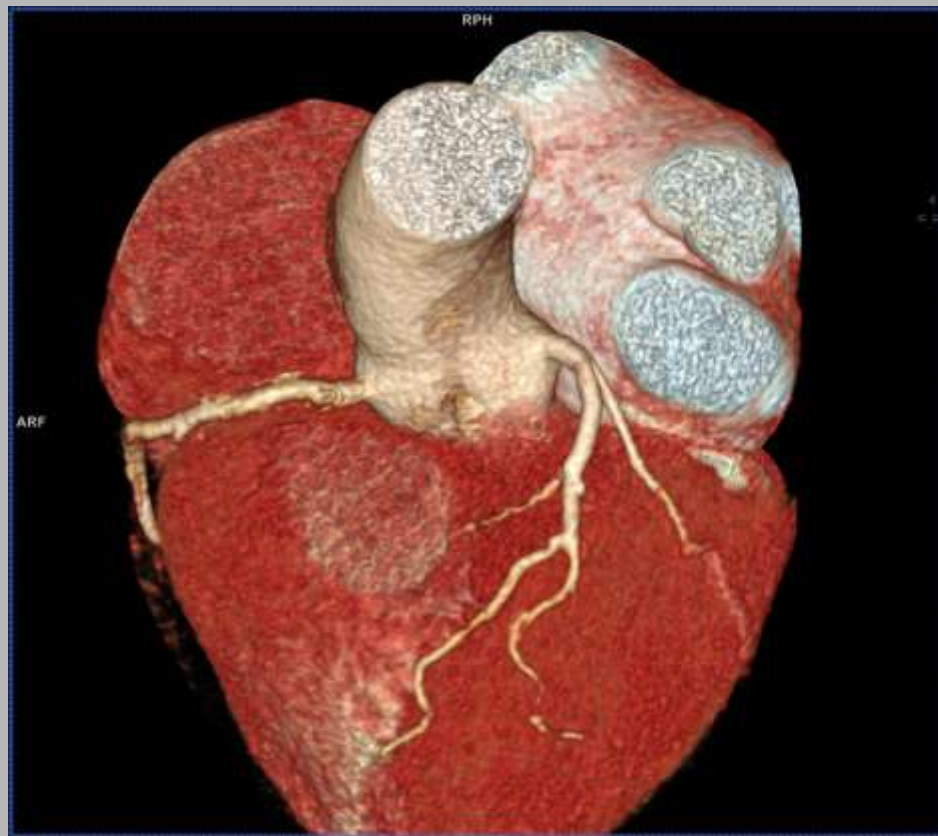
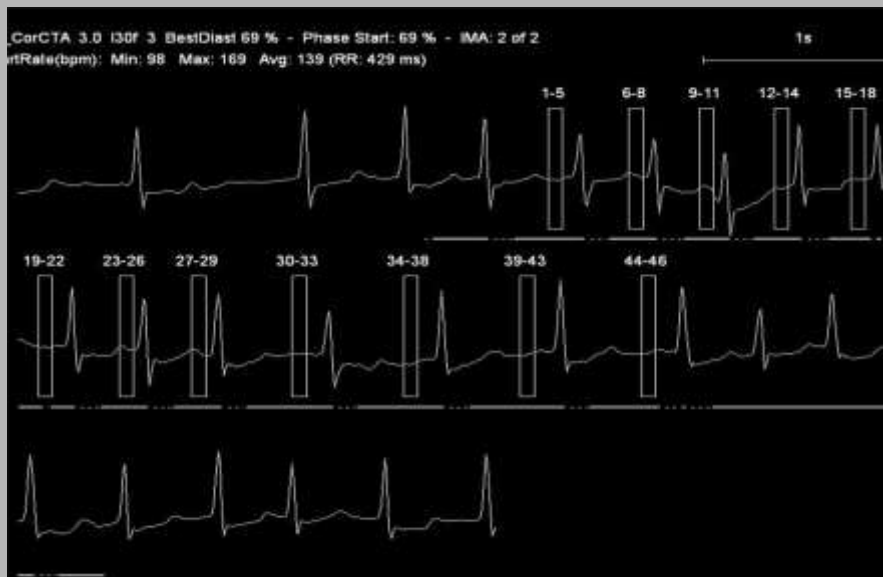
průměr od 2 do 5 mSv



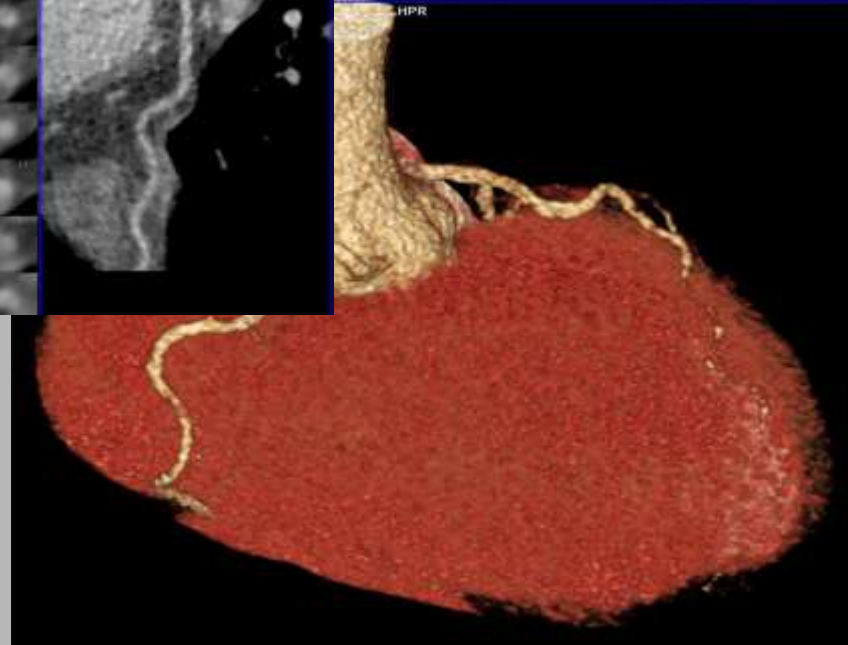
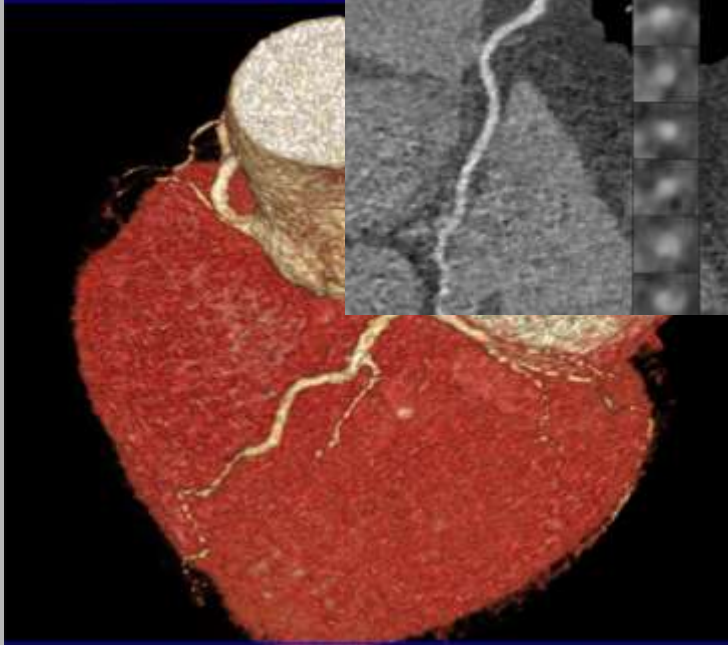
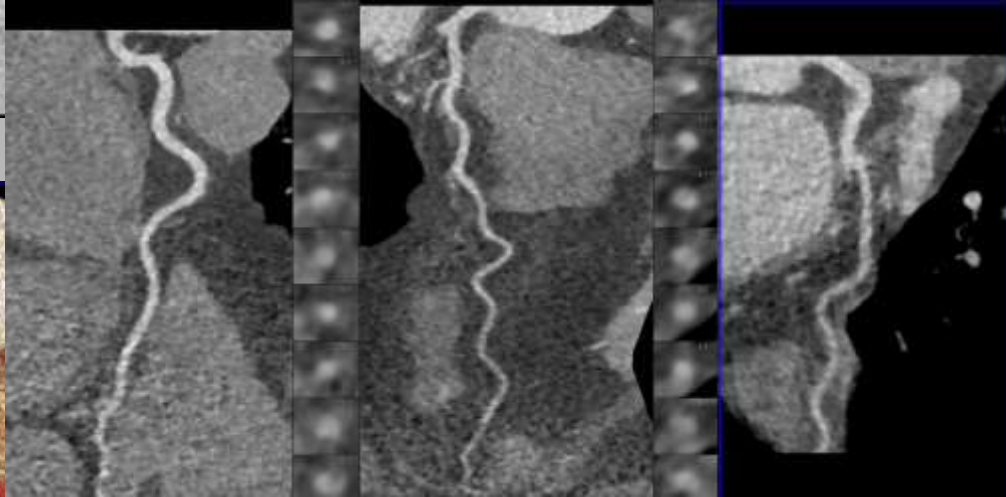
akutní disekce
118/min, EF 15 %



bolest na hrudi dysfunkce dle TTE



150 kg, bolest na hrudi
dysfunkce dle TTE



Acute Coronary Syndromes (ACS) in patients presenting without persistent ST-segment elevation (Management of)

ESC Clinical Practice Guidelines

MDCT coronary angiography should be considered as an alternative to invasive angiography to exclude ACS when there is a low to intermediate likelihood of CAD and when cardiac troponin and/or ECG are inconclusive.

IIa

A

PROMISE (10 003 pacienti)

CTA vs. funkční testy

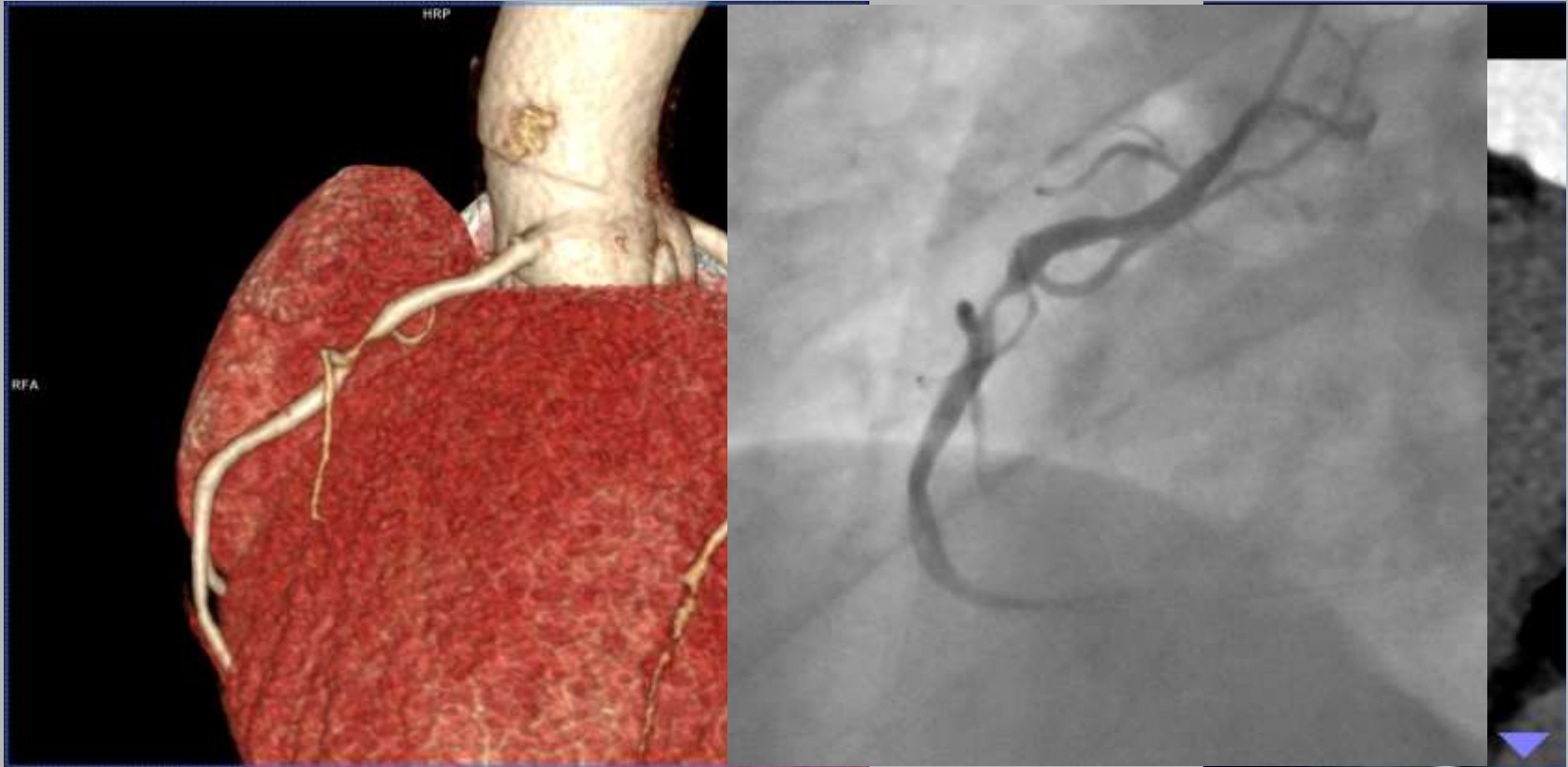
2 leté sledování

negativní SKG - 28 % vs. 53 %

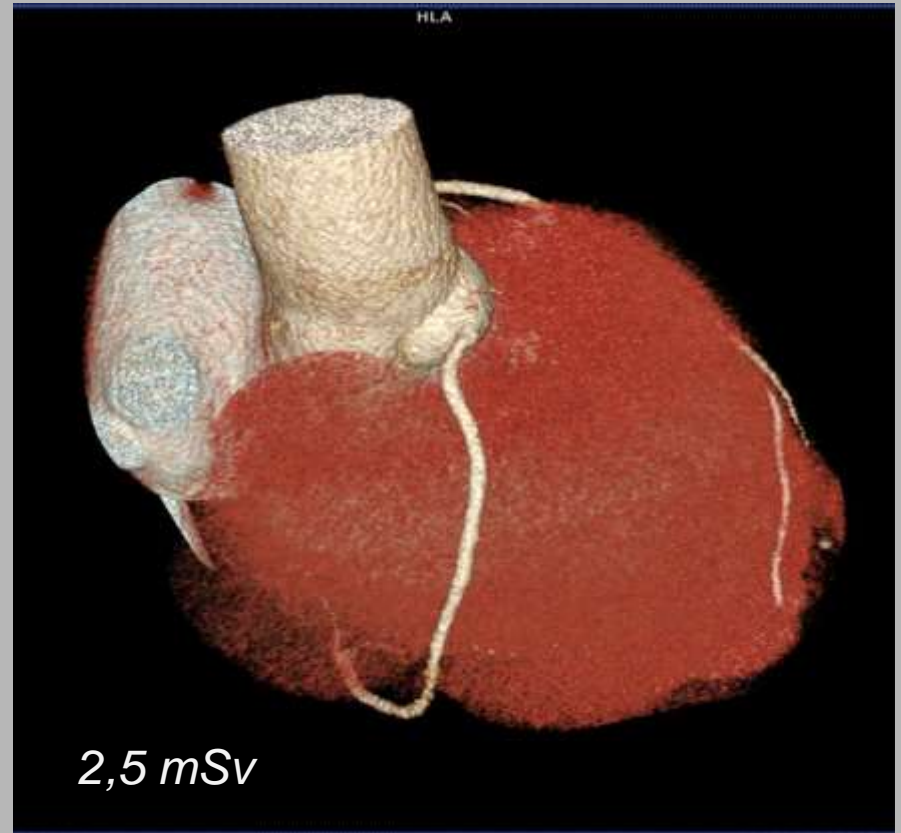
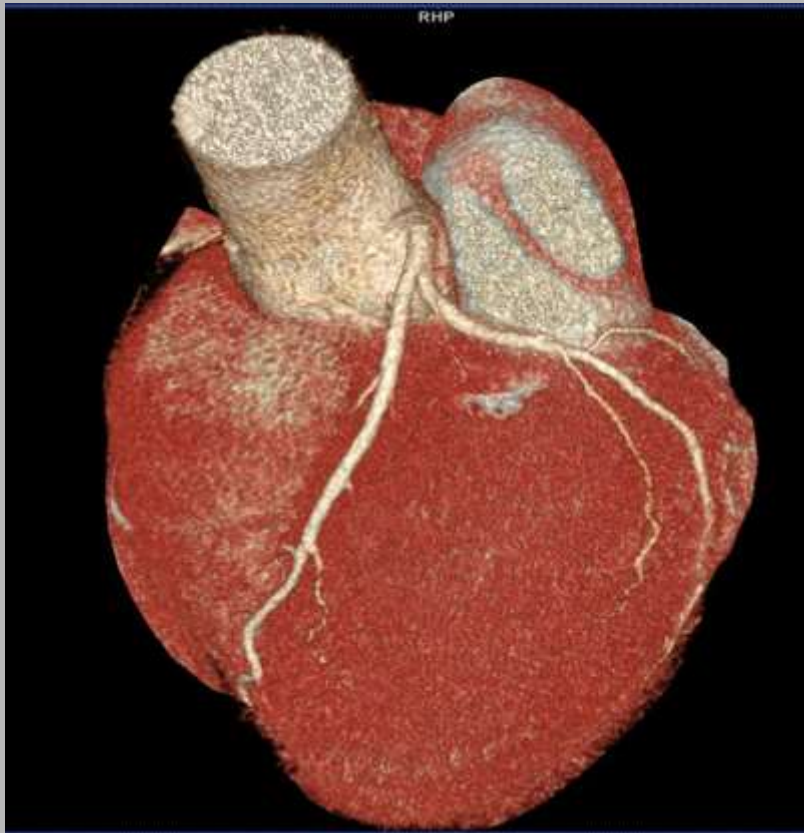
SCOT-HEART (4146 pacientů)

redukce IM ve sledovaném období

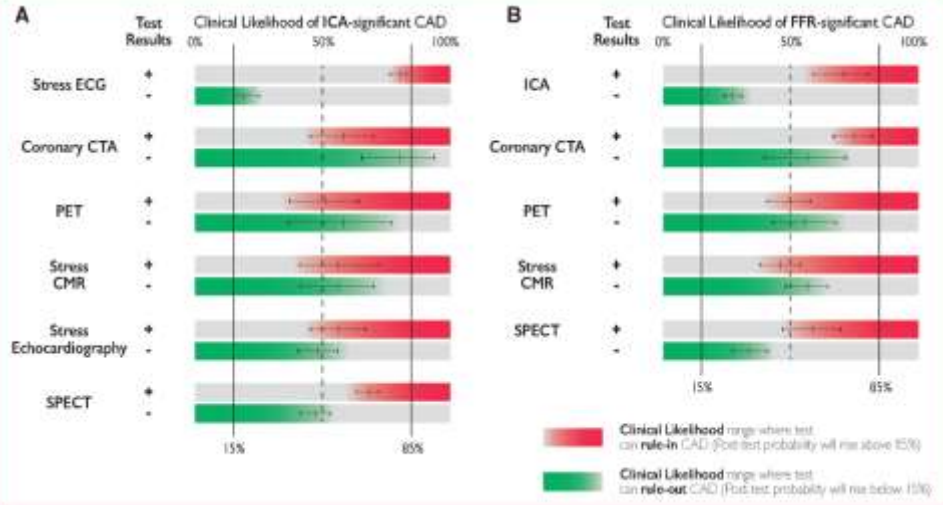
42 let, intermitentní bolest na hrudi
7:30...9:53 (T hs 4)...11:13 (T hs 4)



37 let, intermitentní bolest na hrudi
STE v terénu RBBB, T hs 3...T hs 12

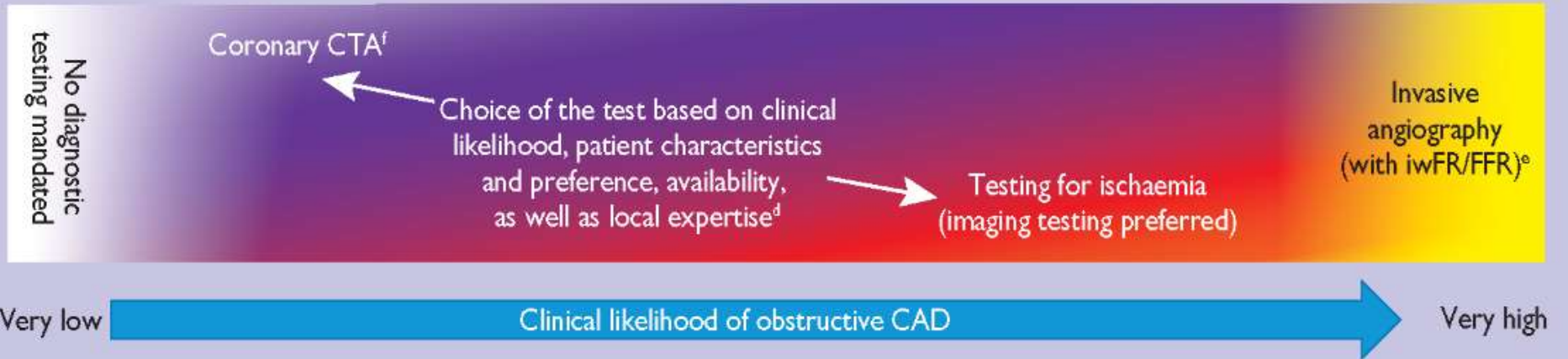


2019 ESC Guidelines for the diagnosis and management of chronic coronary syndromes: The Task Force for the diagnosis and management of chronic coronary syndromes of the European Society of Cardiology (ESC) ^{FREE}



...le chest pain and low prevalence of CAD, coronary
 ...nctional testing for detecting significant CAD defined

Offer diagnostic testing



limitace CTA

specificita

nadhodnocování stenozy

morfologické hodnocení

malé rozměry koronárních tepen

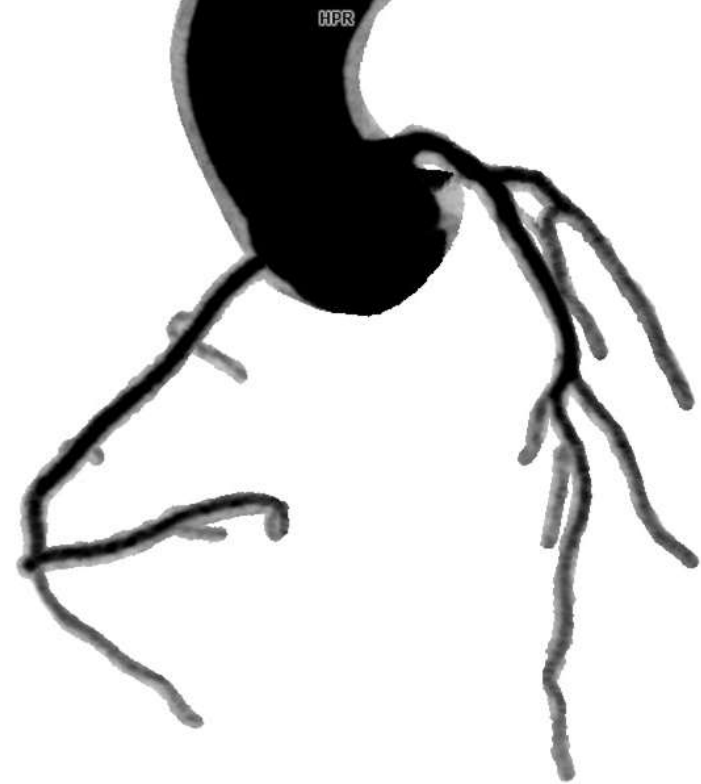
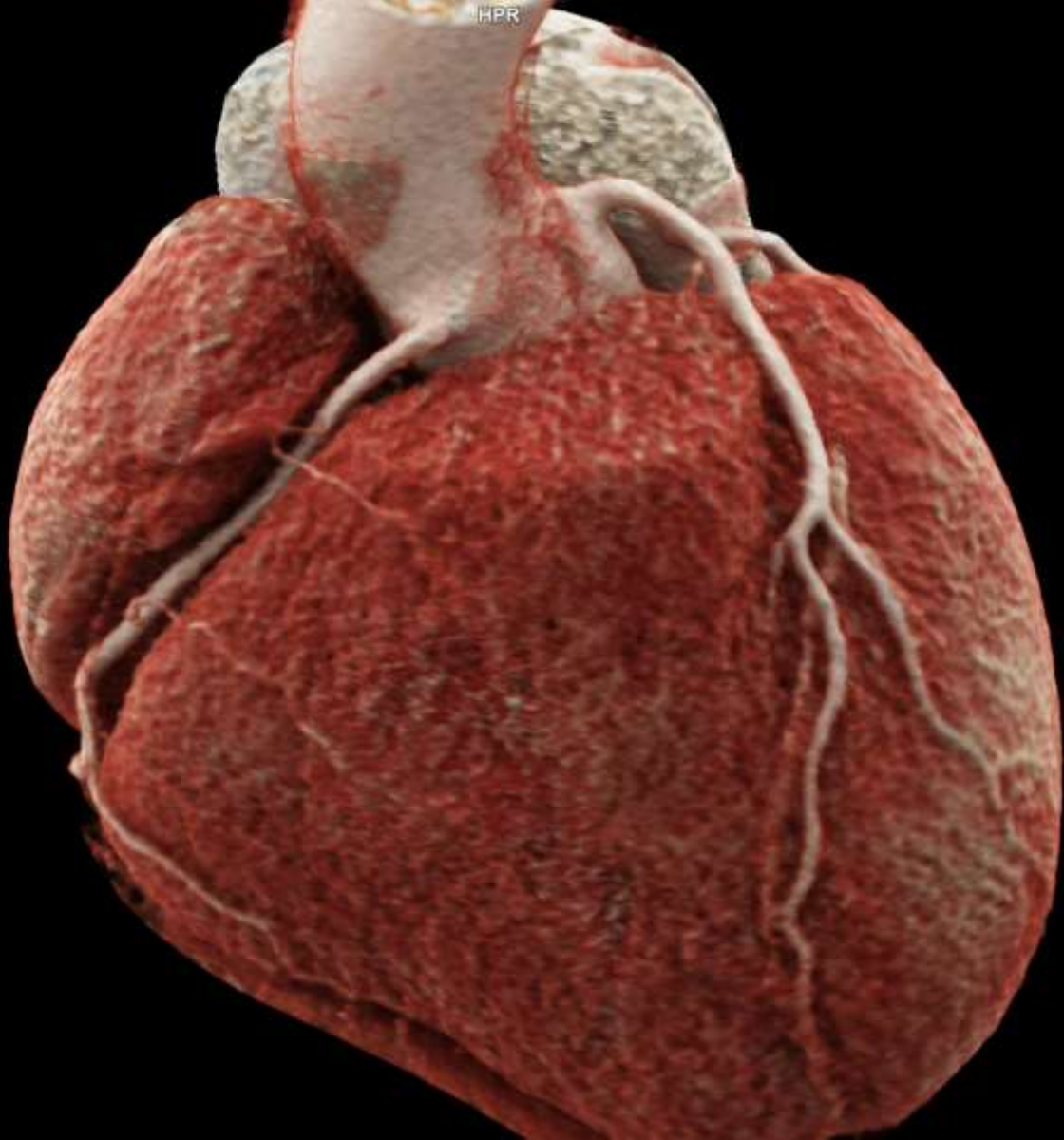
kalcifikace

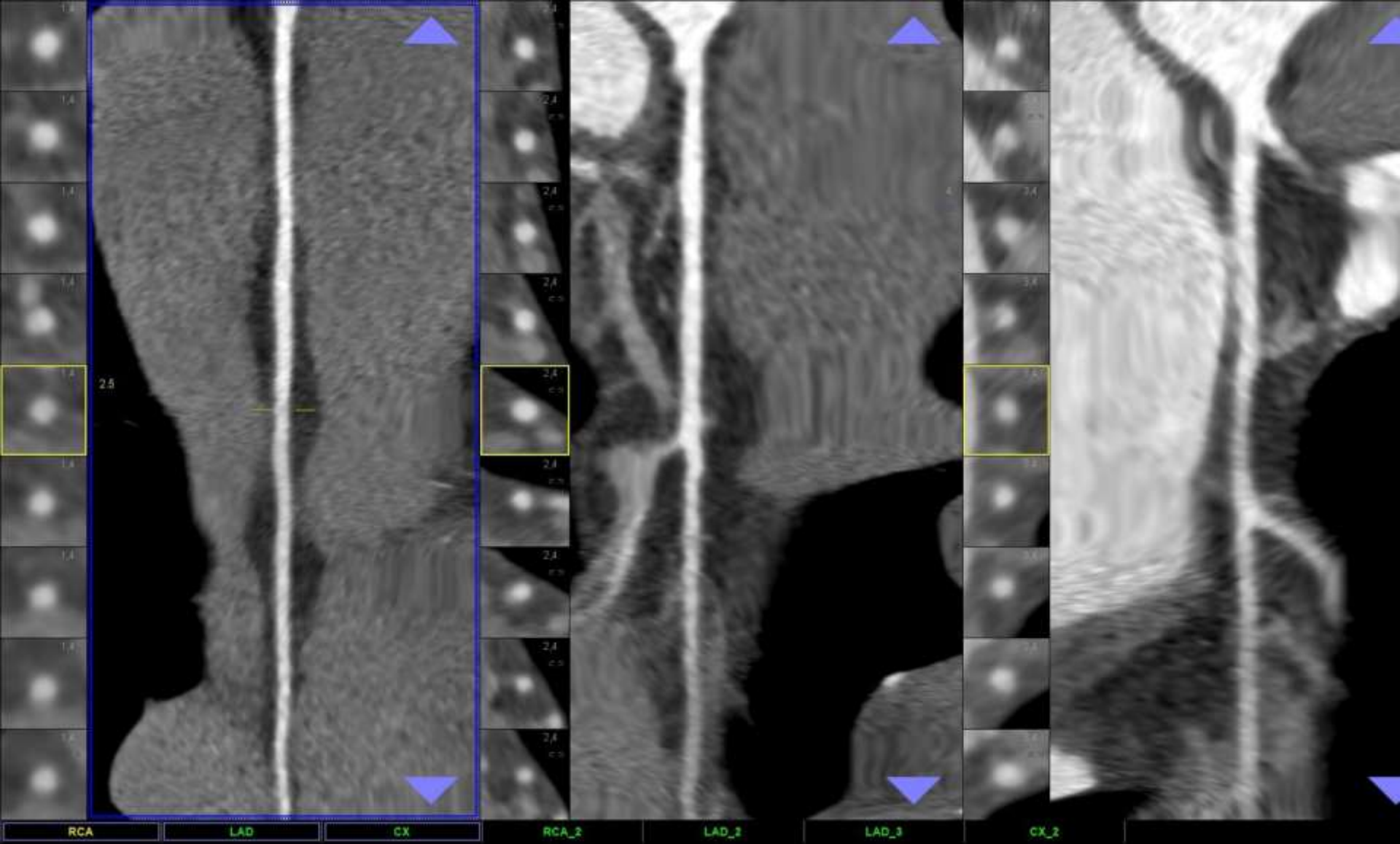
artefakty

SKG

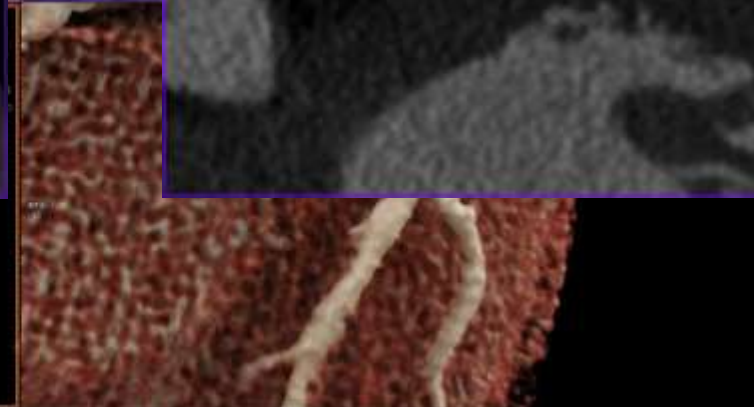
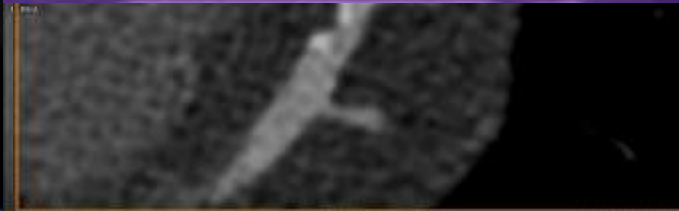
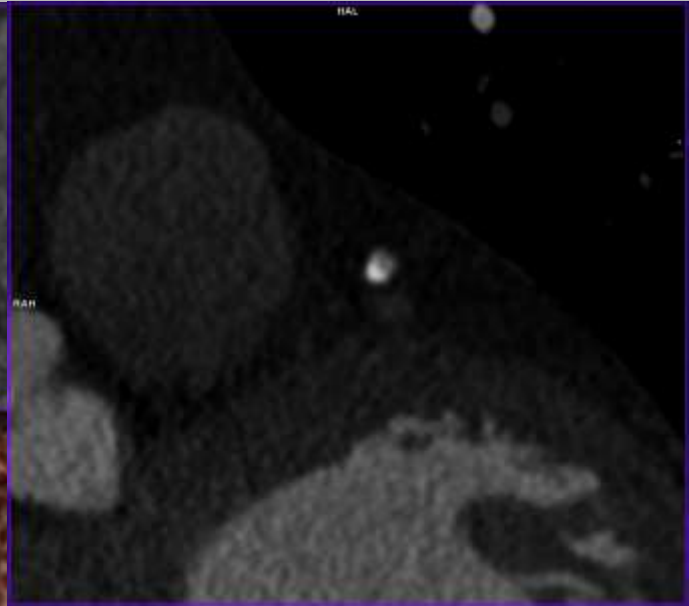
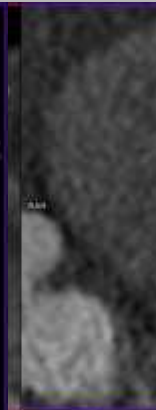
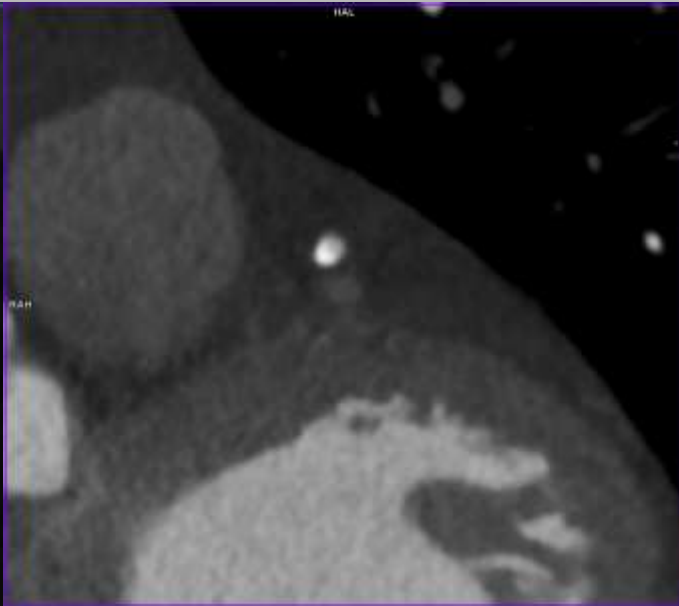
FFR

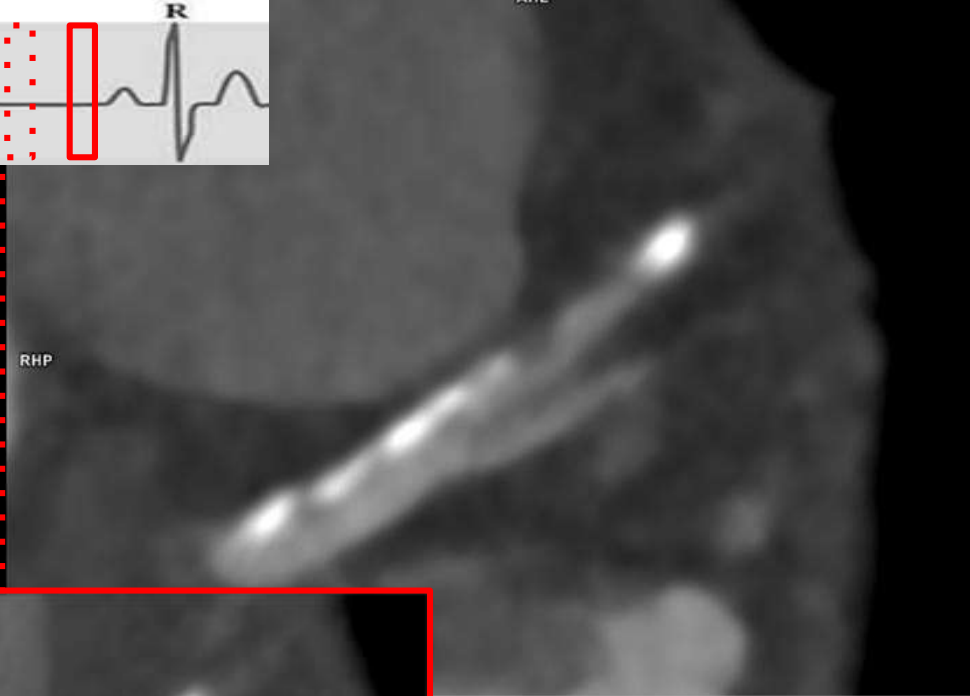
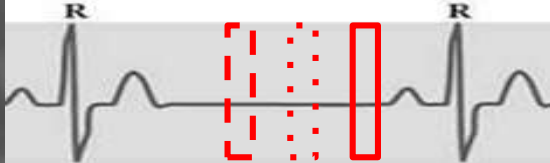






kalcifikace





“nízká” specificita

technická kvalita

limitace “pacientem”

hodnocení

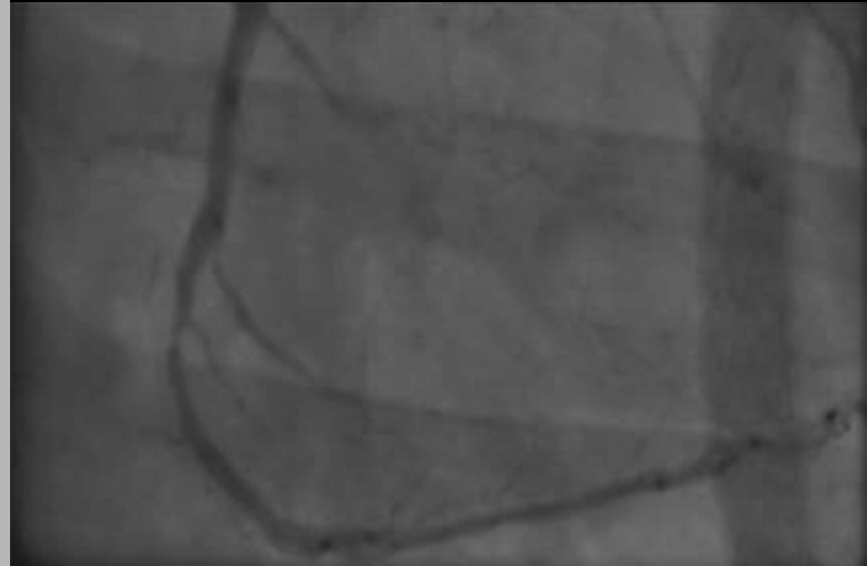
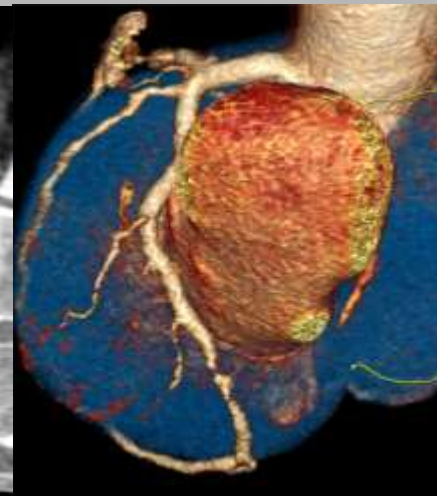
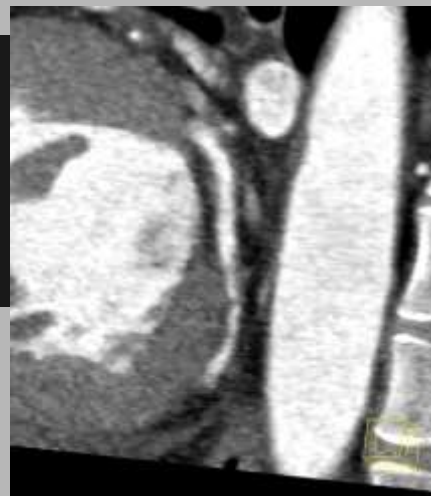
rozměry + kalcifikace

limitace hodnotitele

(ne)znalost klinické symptomatologie

“kvantifikace” a popis

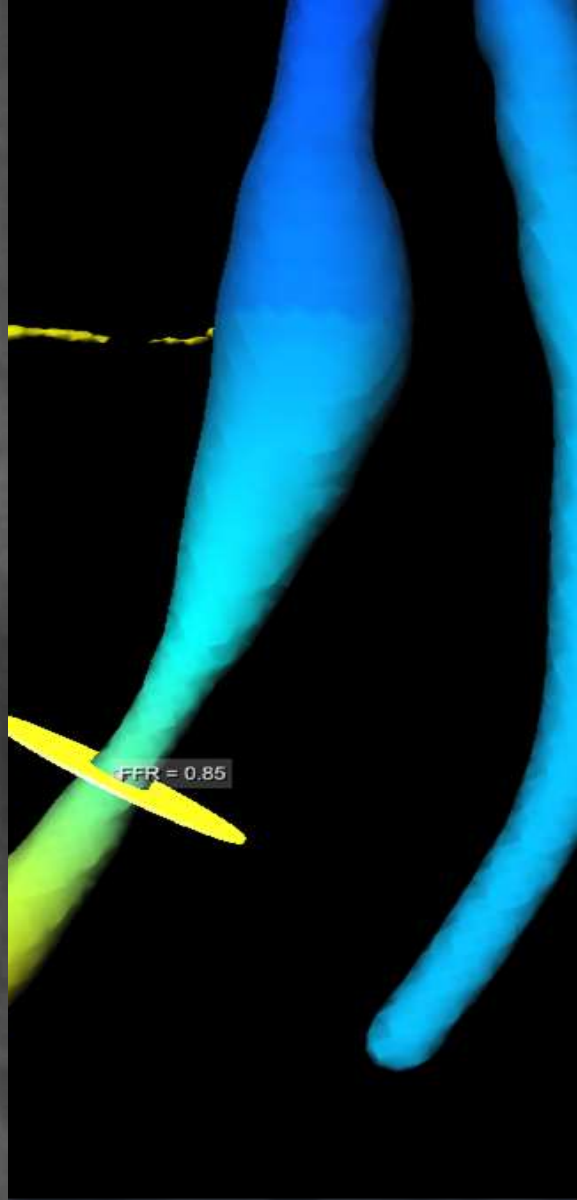
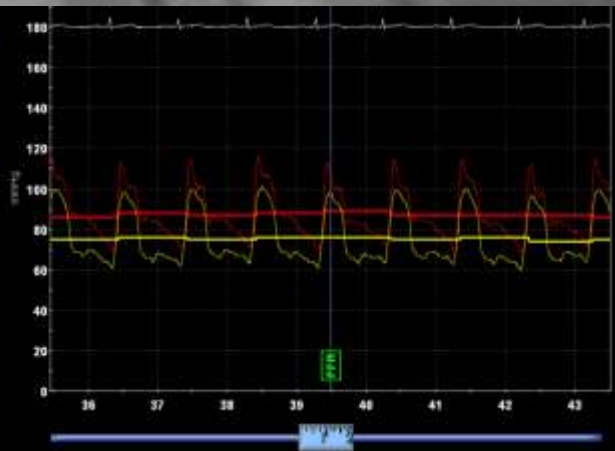
nastavená komunikace



FFR 0,85
Pd/Pa 0,85
Pa:iPa 89:107
Pd:iPd 76: 98

HR 61

List of Runs	FFR
10.26.21	0,85



“vzhled následuje funkci”

anatomický model

obsahuje “funkční” informaci

průtok a odpor

proporční k rozměrům aorty a koronárních tepen

celkový koronární průtok

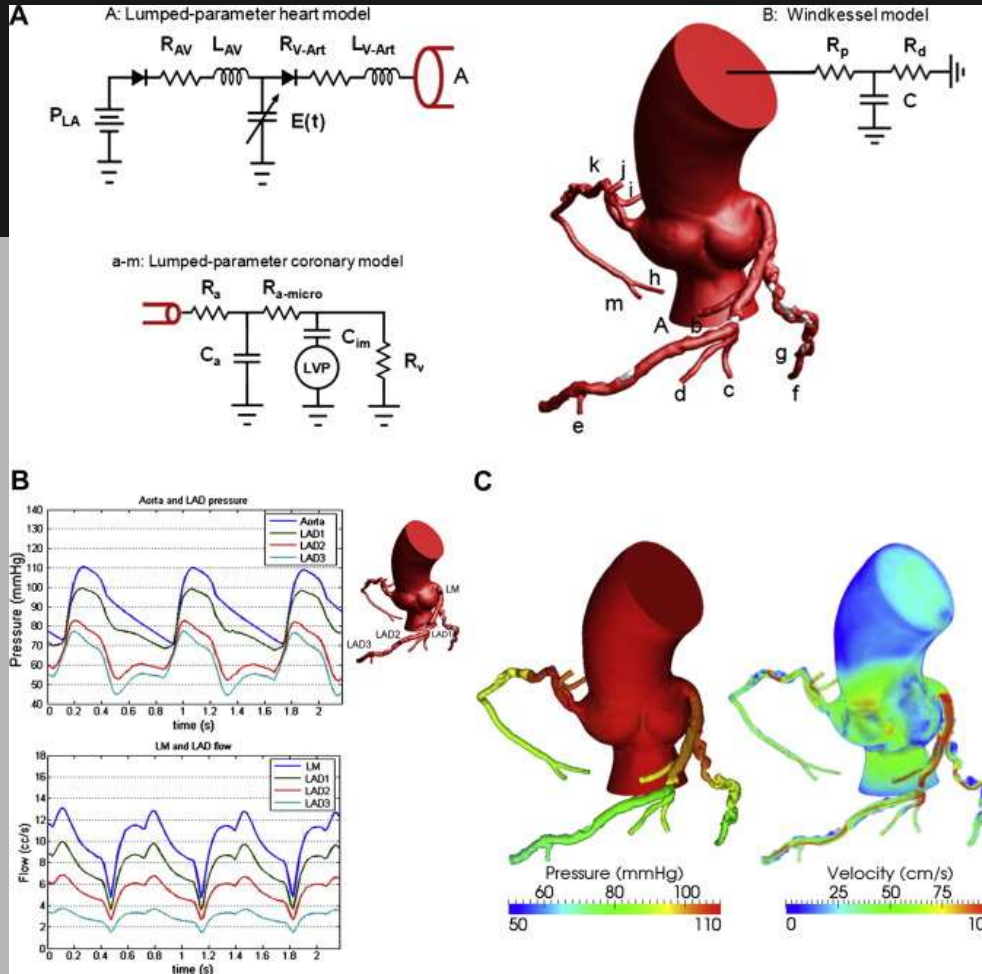
proporční k objemu myokardu

cFFR

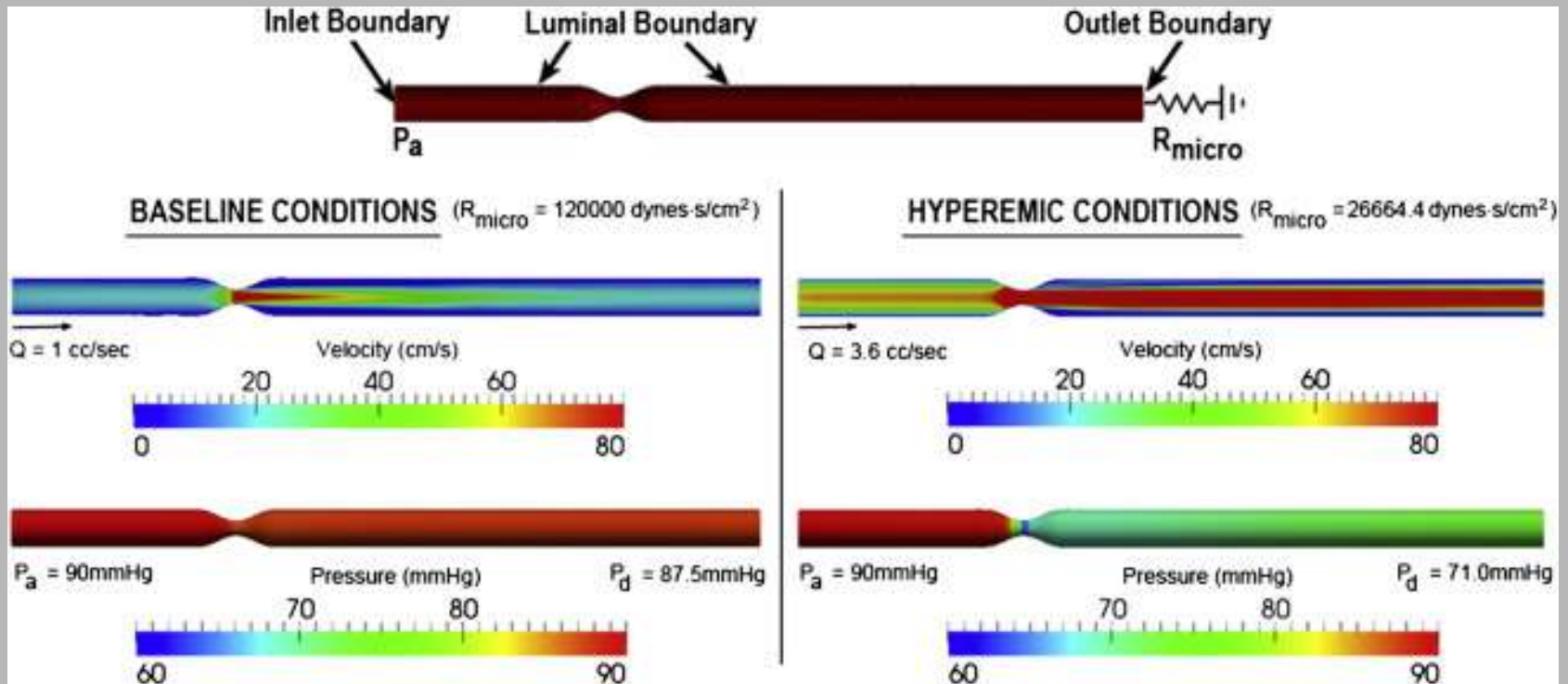
CT-FFR / FFR_{CT}

computed FFR

HeartFlow[®]
(Redwood, CA)



“computational fluid dynamics”



HAL

HRA



+18.0cm

MM Research Frontier

cFFR

LAD
 LAD Secondary
 CX
 CX Secondary

Main Vessel
 Branching Vessel

Centerline Definition

Manual Edit
 Automatic Extract
 Single Vessel Curvature
 Create Vessel

Lumen Definition

Stenosis Definition

FFR Computation

Settings

Name Layer

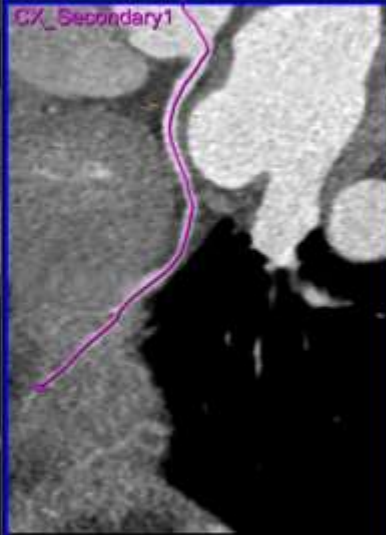
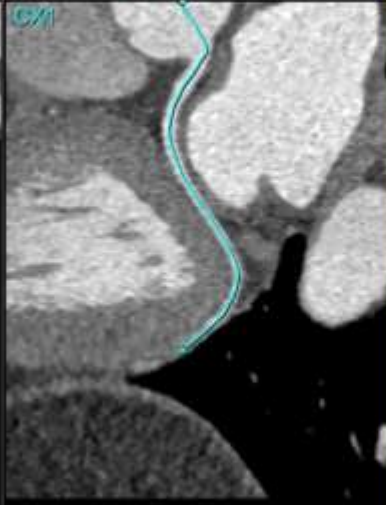
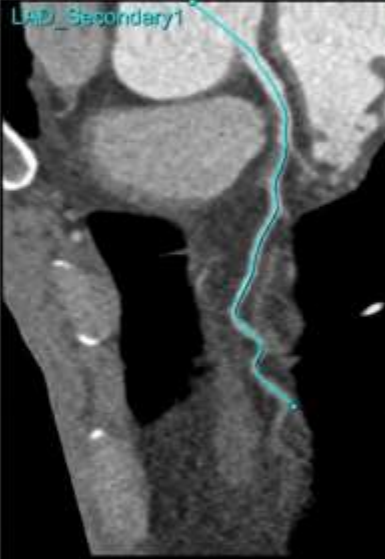
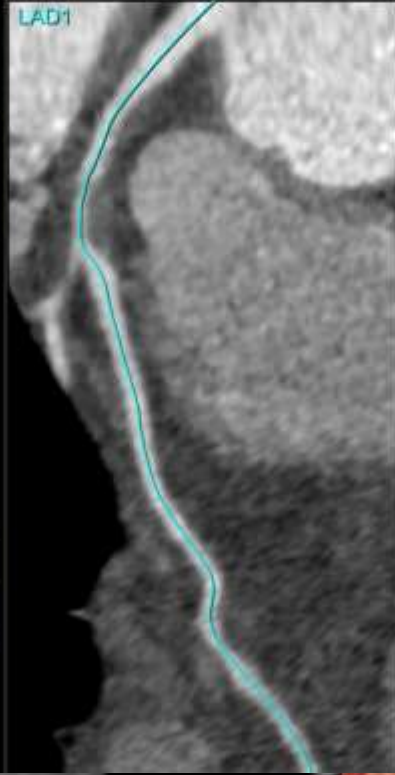
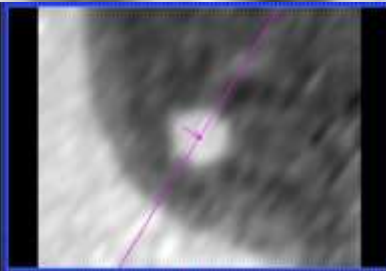
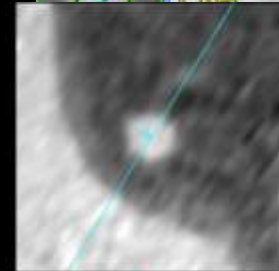
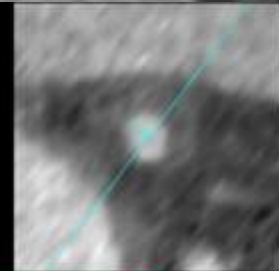
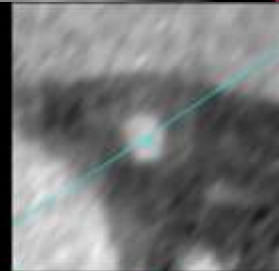
LAD1

LAD_Secondary1

CL1

CL_Secondary1

RCA1



A: 4.2mm
B: 2.04mm



cFFR

Contour Definition

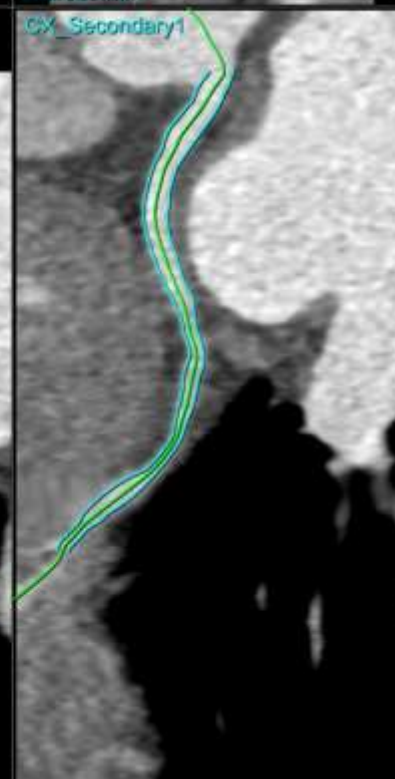
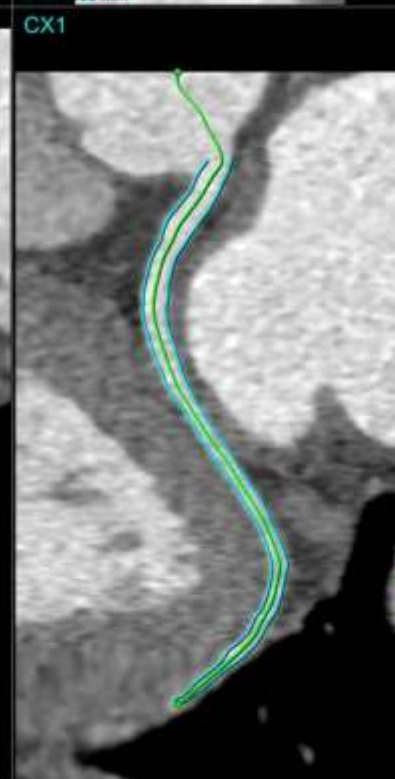
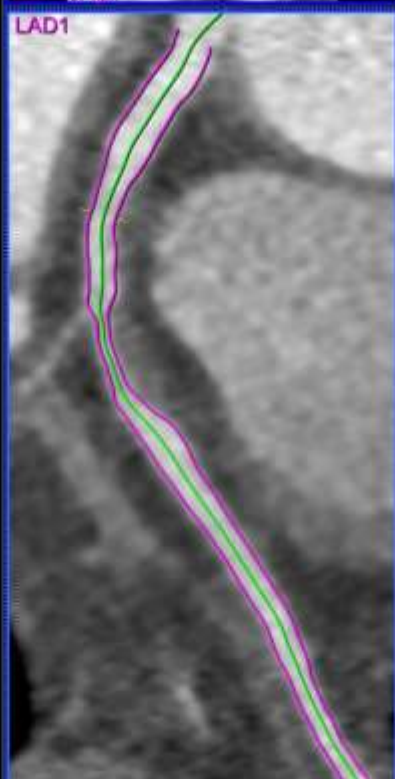
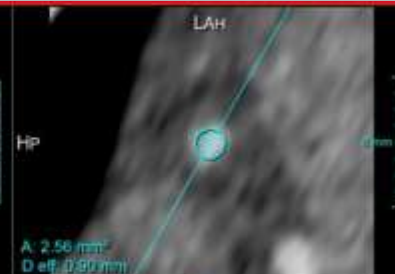
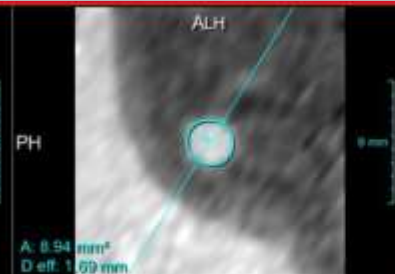
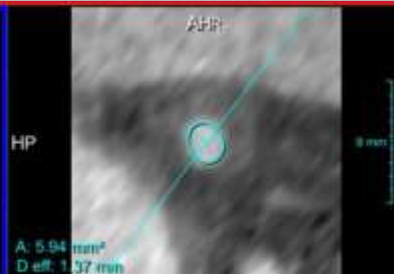
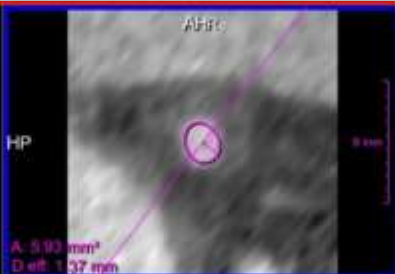
Lumen Definition

Stenosis Definition

FFR Computation

Settings

Name	CL	Lumen
LAD1	x	
LAD_Secondary1	x	
CX1	x	
CX_Secondary1	x	
RCA1	x	



cFFR



Centerline Definition

Lumen Definition

Stenosis Definition

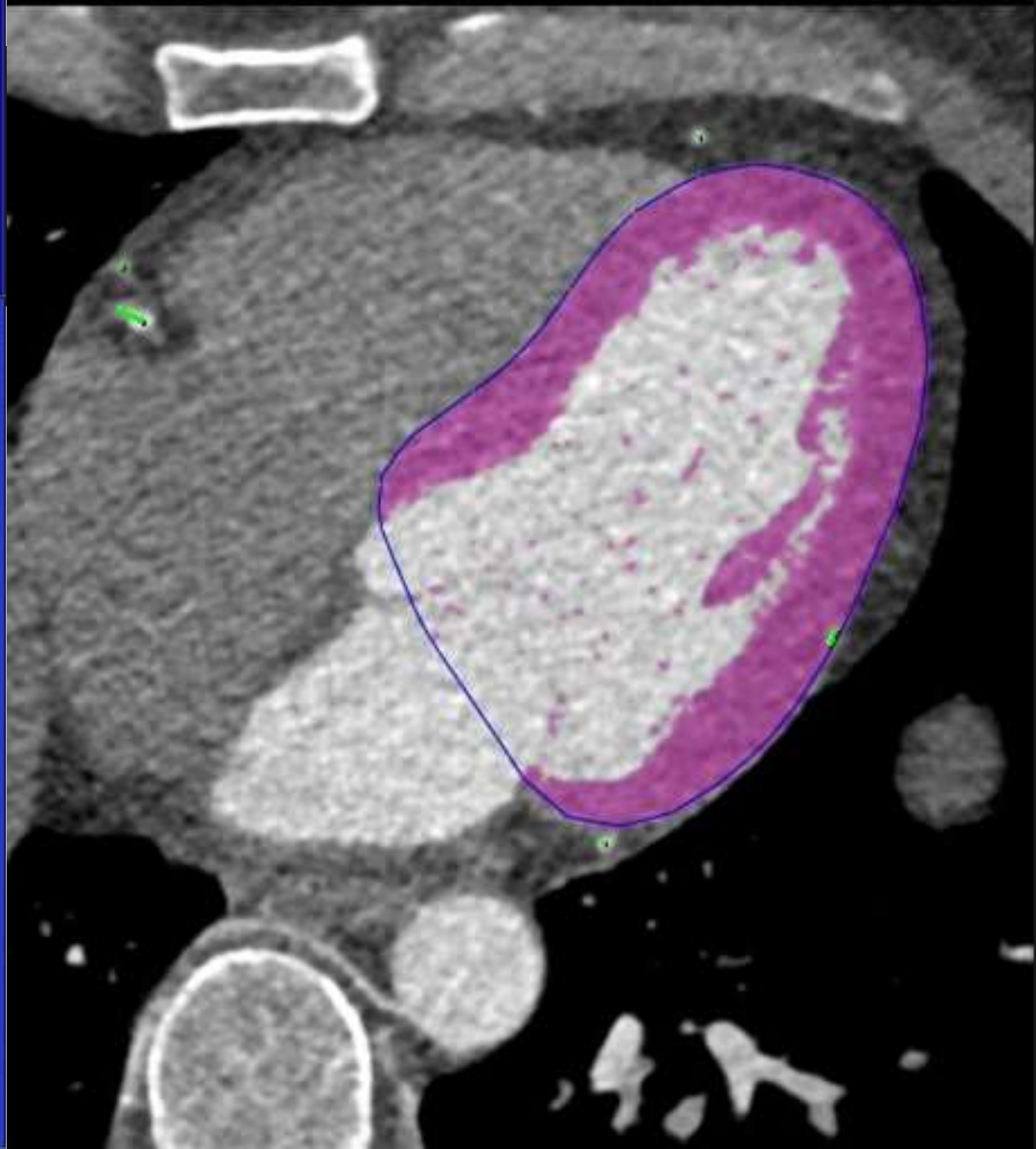
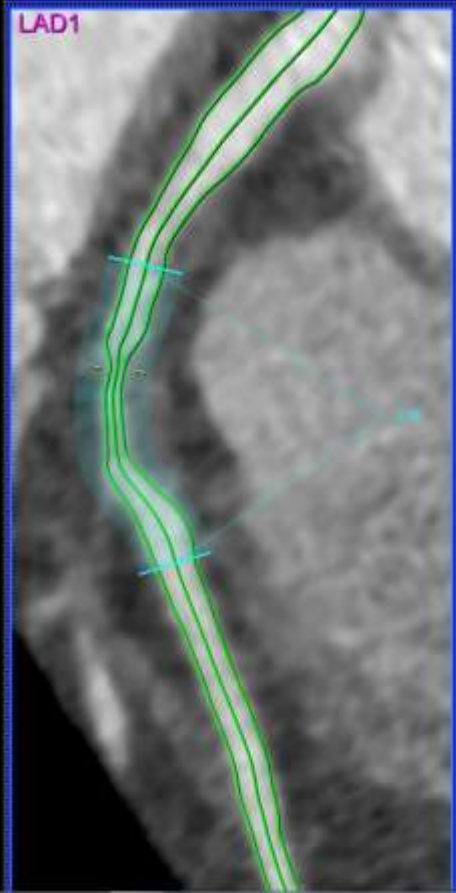
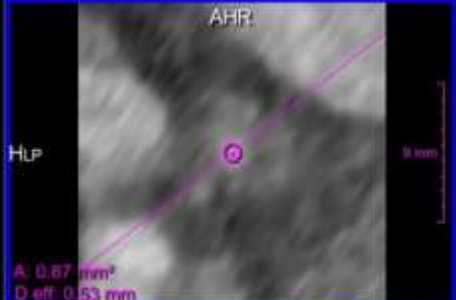


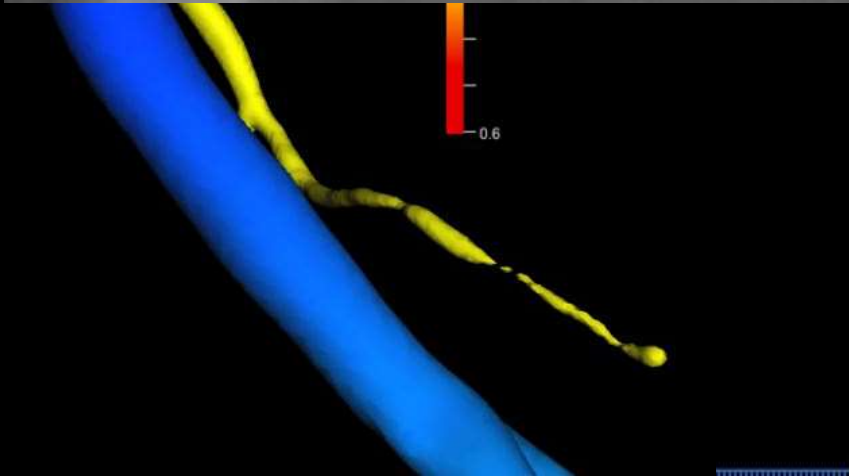
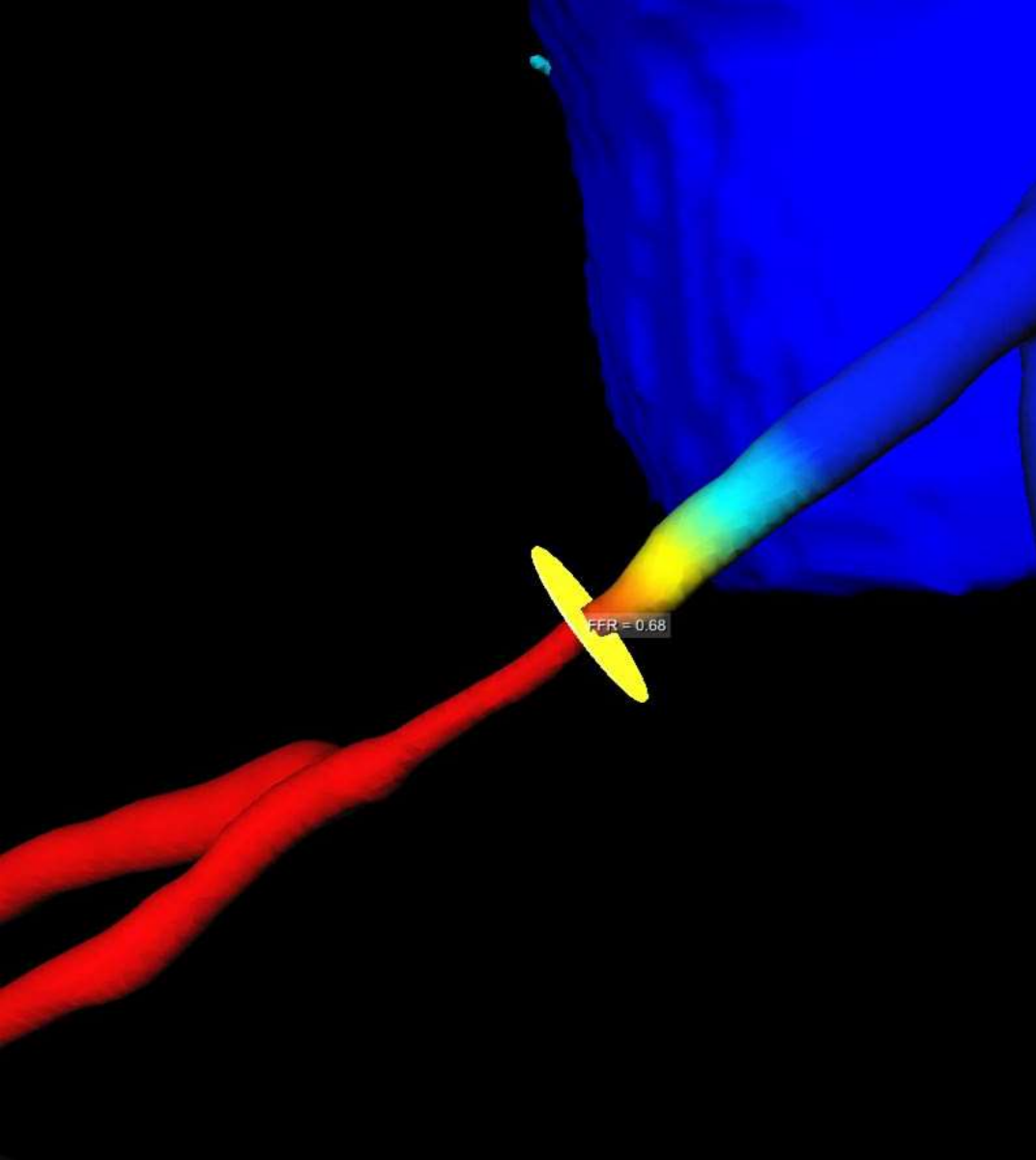
ID	Centerline	Grade	Min area
0	LAD1	87%	0.86 mm ²

FFR Computation

Settings

Name	CL	Lumen
LAD1	x	x
LAD_Secondary1	x	x
CX1	x	x
CX_Secondary1	x	x
RCA1	x	x





FFR-CT AI vs. observer scoring for lesion-specific ischemia

	CCTA analysis and stenosis scoring by experienced observers alone	FFR-CT analysis on CCTA studies calculated by machine-learning algorithm	p-value
--	---	--	---------

Men	0.76	0.83	p = 0.007
-----	------	------	-----------

Women	0.74	0.83	p = 0.12
-------	------	------	----------

klinická relevance

DISCOVER-FLOW

Diagnosis of Ischemia-Causing Stenoses Obtained Via Noninvasive Fractional Flow Reserve

DeFACTO

Determination of Fractional Flow Reserve by Anatomic Computed Tomographic Angiography

accuracy: 84 % vs. 59 %

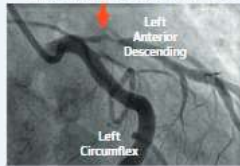
stenozy 30 % - 70 %: 82 % senzitivita

openheart An FFR_{CT} diagnostic strategy versus usual care in patients with suspected coronary artery disease planned for invasive coronary angiography at German sites: one-year results of a subgroup analysis of the PLATFORM (Prospective Longitudinal Trial of FFR_{CT}: Outcome and Resource Impacts) study

Roisin Colleran,¹ Pamela S Douglas,² Martin Hadamitzky,¹ Matthias Gutberlet,³ Lukas Lehmkuhl,⁴ Borek Foldyna,⁵ Michael Woinke,⁶ Ulrich Hink,⁶ Jonathan Nadjiri,¹ Alan Wilk,⁴ Furong Wang,⁴ Gianluca Pontone,⁷ Mark A Hlatky,⁸ Campbell Rogers,⁶ Robert A Byrne¹

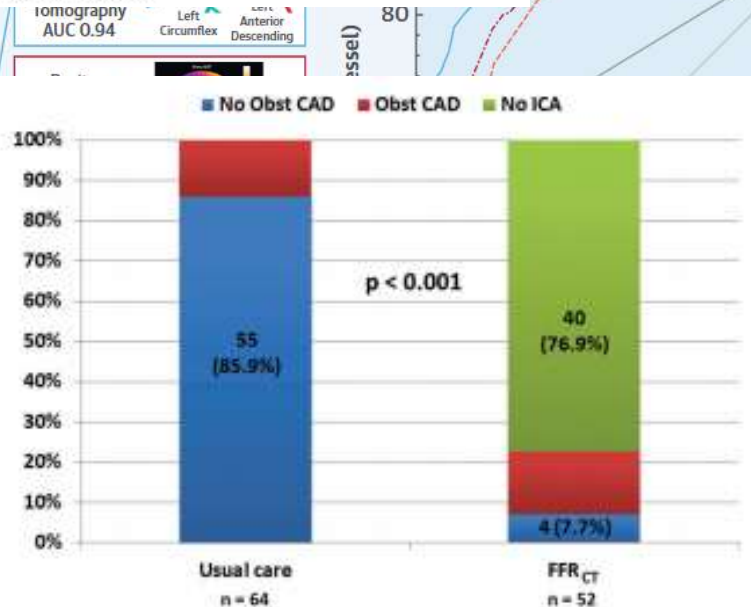


Angiography + Fractional Flow Reserve

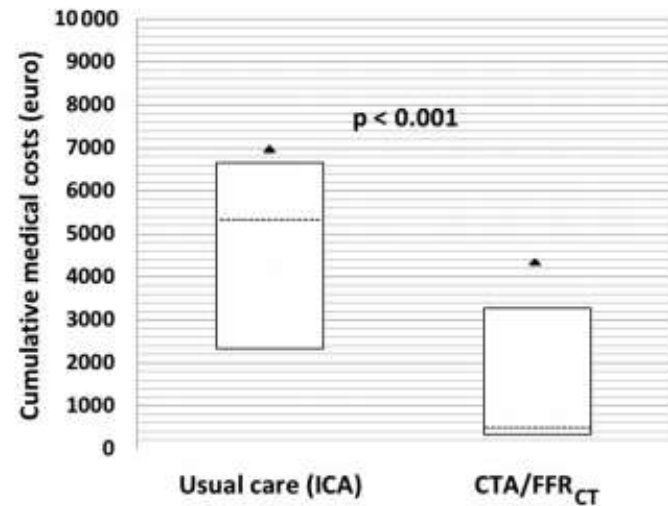


Driessen, R.S. et al. J Am Coll C

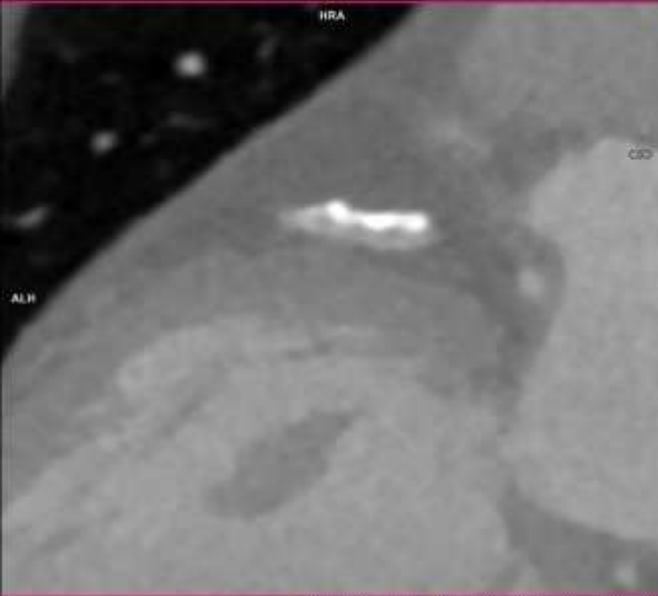
Significance of stable coronary artery disease derived from FFR_{CT}, PET, coronary CTA, descending artery stenosis in the collateral ischemia. CTA – coronary computed tomography; PET – positron emission tomography; SPECT – single-photon emission computed tomography.

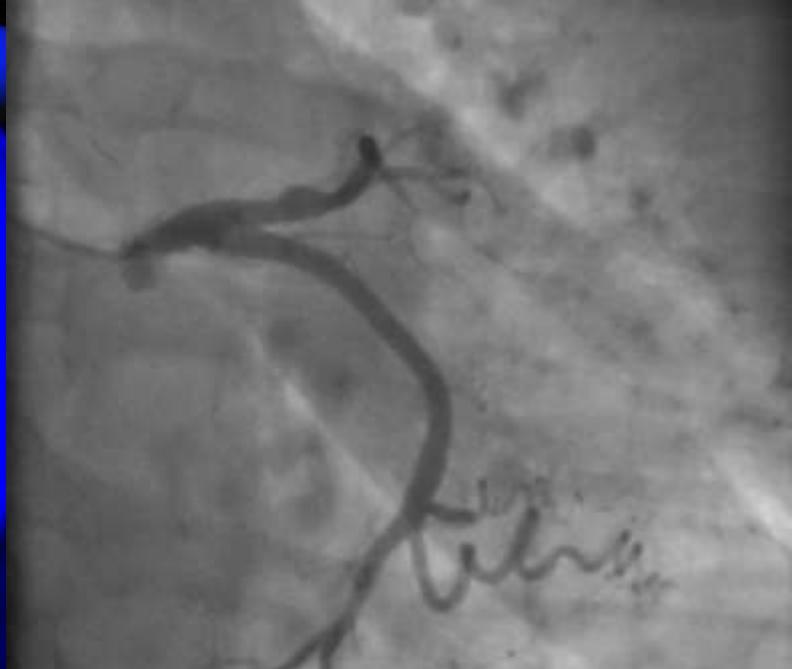
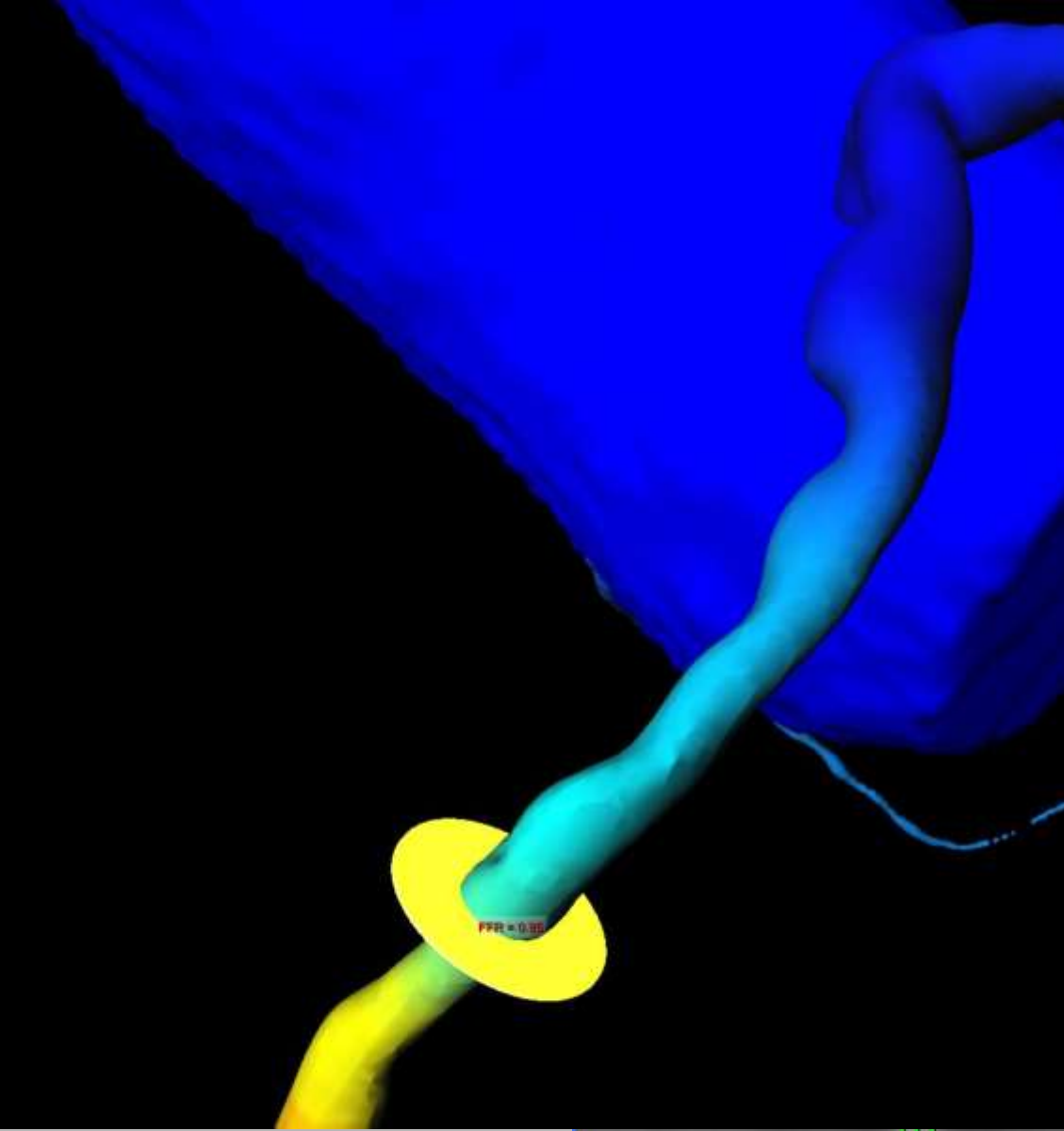


1 patient left anterior descending artery stenosis



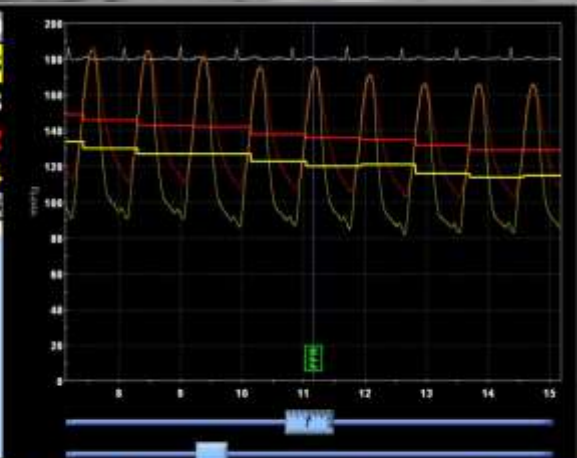
CT-FFR



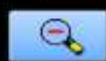


0:11

FFR	0,88
Pd/Pa	0,88
Pa:iPa	136:172
Pd:iPd	120:174
HR	66
List of Runs	FFR
00:58:09	0,88



Live



Options

Save Frame

limitace

kvalita anatomického modelu

kvalitní kontrastní náplň
artefakty (pohybové)
kalcifikace

kalkulace

variabilita (myocardial mass / flow)
mikroangiopatie (nadhodnocení)
stenty, CABG ???

ISCT: Machine-learning FFR-CT expedites heart evaluation



September 19, 2018 – Machine-learning fractional flow reserve CT (FFR-CT) may help clinicians overcome key barriers to conventional FFR-CT, including the lengthy amount of time required to obtain measurements, according to a presentation at the 2018 International Society for

Computed Tomography (ISCT) symposium. [Discuss](#)

CTA + FFR_{CT}

velký potenciál

dominantní neinvazivní metoda v diagnostice ICHS

změna přístupu k revaskularizaci

další vývoj

zdokonalení algoritmů a dostupnost

“machine learning” technika



Deklarace konfliktu zájmů

	Nemám konflikt zájmů	Mám konflikt zájmů	Specifikace konfliktu (vyjmenujte subjekty, firmy či instituce, se kterými Vaše spolupráce může vést ke konfliktu zájmů)
Zaměstnanecký poměr	<input checked="" type="checkbox"/>	<input type="checkbox"/>	
Vlastník / akcionář	<input checked="" type="checkbox"/>	<input type="checkbox"/>	
Konzultant	<input checked="" type="checkbox"/>	<input type="checkbox"/>	
Přednášková činnost	<input checked="" type="checkbox"/>	<input type="checkbox"/>	
Člen poradních sborů (advisory boards)	<input checked="" type="checkbox"/>	<input type="checkbox"/>	
Podpora výzkumu / granty	<input checked="" type="checkbox"/>	<input type="checkbox"/>	
Jiné honoráře (např. za klinické studie či registry)	<input checked="" type="checkbox"/>	<input type="checkbox"/>	